

Quelques mesures physiques en océanographie

Première partie

Étude de la compressibilité et de la conductivité de l'eau océanique

1.1. Étude de la compressibilité de l'eau océanique

1.1.1. Relation fondamentale de l'hydrostatique :

$$\vec{f}_v - \vec{grad}P = \vec{0}$$

\vec{f}_v : densité de forces volumiques appliquées sur l'élément de fluide du bassin, dans le référentiel d'étude.

$$\rho \vec{g} = -\rho g \vec{u}_z = \vec{grad}P = \left(\frac{\partial P}{\partial x}\right) \vec{u}_x + \left(\frac{\partial P}{\partial y}\right) \vec{u}_y + \left(\frac{\partial P}{\partial z}\right) \vec{u}_z \Rightarrow \begin{cases} \left(\frac{\partial P}{\partial x}\right) = \left(\frac{\partial P}{\partial y}\right) = 0 \\ \left(\frac{\partial P}{\partial z}\right) = -\rho g \end{cases}$$

La pression P est, donc, indépendante de x et de y , d'où :

$$\left(\frac{\partial P}{\partial z}\right) = \left(\frac{dP}{dz}\right) = -\rho g$$

1.1.2. Le coefficient de compressibilité isotherme :

$$\chi_o = -\frac{1}{V} \left(\frac{\partial V}{\partial P}\right)_{T,s}$$

$$\text{On a : } \rho V = m \Rightarrow \ln \rho + \ln V = k \Rightarrow \frac{d\rho}{\rho} = -\frac{dV}{V}$$

$$\text{Soit : } \frac{1}{\rho} \left(\frac{\partial \rho}{\partial P}\right)_{T,s} = -\frac{1}{V} \left(\frac{\partial V}{\partial P}\right)_{T,s} \Rightarrow \boxed{\chi_o = \frac{1}{\rho} \left(\frac{\partial \rho}{\partial P}\right)_{T,s}}$$

1.1.3.

$$\text{D'après les questions 1.1.1 et 1.1.2 on a : } \begin{cases} dP = -\rho g dz \\ \text{et} \\ d\rho = \rho \chi_o dP \end{cases}$$

$$\text{D'où : } \boxed{\frac{d\rho}{dz} + \rho^2 \chi_o g = 0}$$

$$\text{Solution : } \frac{1}{\rho(z)} = \chi_o g + \frac{1}{\rho(0)} \quad \text{ou : } \boxed{\rho(z) = \frac{\rho(0)}{1 + \chi_o \rho(0) g z}}$$

1.1.4. Sur la hauteur totale h du bassin :

$$\rho(h) = \frac{\rho(0)}{1 + \chi_o \rho(0) g h} \Rightarrow \rho(h) = \rho(0) (1 - \chi_o \rho(0) g h) \Rightarrow \frac{\Delta \rho}{\rho} = -\rho(0) \chi_o g h$$

D'où :

$$\boxed{\frac{\Delta \rho}{\rho} = \frac{\chi_o \rho(h) g h}{\chi_o \rho(h) g h - 1}}$$

La masse volumique ρ *décline* lorsque z *augmente*.

1.1.5.

Hauteur	90 m	100 m	10 km
$\frac{\Delta \rho}{\rho}$	$-3,62 \times 10^{-4}$	$-4,02 \times 10^{-4}$	$-419,07 \times 10^{-4}$

1.1.6.

$$\frac{dP}{dz} = -\rho g = -\frac{\rho(0)g}{1 + \rho(0)g\chi_o z} \Rightarrow P - P(0) = -\frac{1}{\chi_o} \ln(1 + \rho(0)g\chi_o z)$$

$$\text{Soit : } \boxed{P(z) = P(0) - \frac{1}{\chi_o} \ln(1 + \rho(0)g\chi_o z)}$$

1.1.7. Application numérique

$$P(h) = P(0) - \frac{1}{\chi_o} \ln(1 + \rho(0)g\chi_o h) = P_o$$

$$\Rightarrow P(0) = \frac{1}{\chi_o} \ln(1 + \rho(0)g\chi_o h) + P_o \quad \text{avec : } \rho(0) = \frac{\rho(h)}{1 - \rho(h)g\chi_o z}$$

$$\text{Soit : } \boxed{P(0) = P_o - \frac{1}{\chi_o} \ln(1 - \rho(h)g\chi_o h)}$$

Hauteur	90 m	100 m	10 km
$P(0)$		$11,05 \times 10^5$	$101,65 \times 10^5$

1.2. Étude de la conductivité de l'eau océanique

$$\text{1.2.1. } \boxed{\Phi_{1c}(t) = B_1(t)S \quad \text{et} \quad \Phi_{2c}(t) = B_2(t)S}$$

1.2.2. Forme intégrale du théorème d'AMPÈRE :

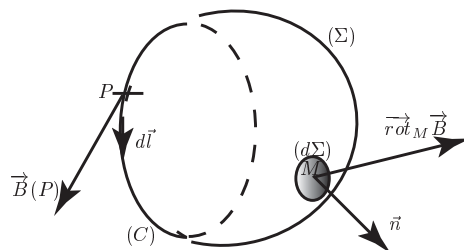
Soient un contour orienté (C) , et une surface (Σ) s'appuyant sur (C) (c'est à dire bordée par celui-ci).
Soit un élément de surface $(d\Sigma)$ entourant un point M de (Σ) .

$$\text{Forme locale : } \vec{\nabla}_M \wedge \vec{B}(M) = \vec{rot}_M \vec{B}(M) \cdot \mu \vec{j}$$

$$\text{Soit } \iint_{(\Sigma)} (\vec{rot}_M \vec{B}(M)) \cdot d\Sigma \vec{n} = \iint_{(\Sigma)} \mu \vec{j} \cdot d\Sigma \vec{n}$$

$$\text{Or : } \begin{cases} \iint_{(\Sigma)} (\vec{rot}_M \vec{B}(M)) \cdot d\Sigma \vec{n} = \oint_{(C)} \vec{B}(P) \cdot d\vec{l} & \text{Théorème de Stokes} \\ I = \iint_{(\Sigma)} \vec{j} \cdot d\Sigma \vec{n} & \text{Intensité du courant enlacé e par } (C) \end{cases}$$

$$\text{D'où : } \oint_{(C)} \vec{B}(P) \cdot d\vec{l} = \mu I_{\text{enlacée par le contour } (C)}$$

1.2.3. Champ magnétique circulant dans le tore (t_1)

$$B_1(t)\ell = \mu(N_1 i_1(t) + N_3 i_3(t) + i(t)) \Rightarrow B_1(t) = \frac{\mu}{\ell}(N_1 i_1(t) + N_3 i_3(t) + i(t))$$

1.2.4. Champ magnétique circulant dans le tore (t_2)

$$B_2(t) = \frac{\mu}{\ell}(N_2 i_2(t) + N_4 i_3(t) - i(t))$$

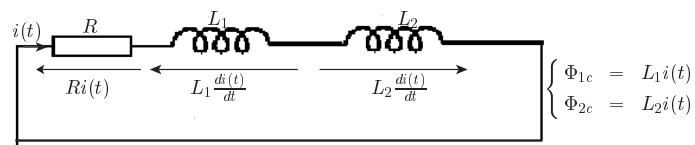
1.2.5. On suppose que l'on place un voltmètre d'impédance d'entrée infinie à la sortie du transformateur (T_2), $\Rightarrow i_2(t) = 0$, soit :

$$B_2(t) = \frac{\mu}{\ell}(N_4 i_3(t) - i(t))$$

1.2.6.

$$\Phi_{2c}(t) = B_2(t)S = \frac{\mu}{\ell}(N_4 i_3(t) - i(t)) \quad (1)$$

1.2.7. Le circuit électrique constitué de la boucle d'eau océanique est équivalent au circuit ci-dessous :



$$\Rightarrow Ri(t) + \frac{d\Phi_{1c}}{dt} - \frac{d\Phi_{2c}}{dt} = 0 \quad (2)$$

1.2.8.

$$u_1(t) = N_1 \frac{d\Phi_{1c}}{dt} \quad \text{et} \quad u_3(t) = N_3 \frac{d\Phi_{1c}}{dt}$$

1.2.9.

$$u_2(t) = N_2 \frac{d\Phi_{2c}}{dt} \quad \text{et} \quad u_4(t) = N_4 \frac{d\Phi_{2c}}{dt}$$

1.2.10. Loi des mailles :

$$u_3(t) + u_4(t) = R_p i_3(t) = N_3 \frac{d\Phi_{1c}}{dt} + N_4 \frac{d\Phi_{2c}}{dt}$$

$$\Rightarrow i_3(t) = -\frac{1}{R_p} \left(N_3 \frac{d\Phi_{1c}}{dt} + N_4 \frac{d\Phi_{2c}}{dt} \right) \quad (3)$$

1.2.11. Des équations (1) (2) et (3), on en déduit que :

$$\frac{\Phi_{2c}\ell}{S\mu} = -\frac{N_4}{R_p} \left(N_3 \frac{d\Phi_{1c}}{dt} + N_4 \frac{d\Phi_{2c}}{dt} \right) - \frac{1}{R} \left(\frac{d\Phi_{2c}}{dt} - \frac{d\Phi_{1c}}{dt} \right)$$

$$= \frac{d\Phi_{1c}}{dt} \left(\frac{1}{R} - \frac{N_3 N_4}{R_p} \right) - \frac{d\Phi_{2c}}{dt} \left(\frac{1}{R} + \frac{N_4^2}{R_p} \right)$$

$$\text{Soit : } \frac{\ell R}{S\mu} \Phi_{2c} = \left(1 - N_3 N_4 \frac{R}{R_p} \right) \frac{d\Phi_{1c}}{dt} - \left(1 + N_4^2 \frac{R}{R_p} \right) \frac{d\Phi_{2c}}{dt}$$

1.2.12.

$$\underline{u}_1(t) = \underline{U}_1 \sqrt{2} \exp i\omega t \quad \text{et} \quad \underline{u}_2(t) = \underline{U}_2 \sqrt{2} \exp i\omega t$$

$$= N_1 \frac{d\Phi_{1c}}{dt} = i\omega N_1 \Phi_{1c} \quad = N_2 \frac{d\Phi_{2c}}{dt} = i\omega N_2 \Phi_{2c}$$

L'équation précédente en notation complexe :

$$\frac{\ell R}{S\mu} \Phi_{2c} = \left(1 - N_3 N_4 \frac{R}{R_p} \right) i\omega \Phi_{1c} - \left(1 + N_4^2 \frac{R}{R_p} \right) i\omega \Phi_{2c}$$

$$\Rightarrow \frac{\ell R}{S\mu} \frac{\underline{U}_2}{i\omega N_2} = \left(1 - N_3 N_4 \frac{R}{R_p} \right) \frac{\underline{U}_1}{N_1} - \left(1 + N_4^2 \frac{R}{R_p} \right) \frac{\underline{U}_2}{N_2}$$

$$\text{Ou} \quad \frac{\underline{U}_2}{N_2} \left(1 - \frac{i\ell R}{\omega S\mu} + N_4^2 \frac{R}{R_p} \right) = \left(1 - N_3 N_4 \frac{R}{R_p} \right) \frac{\underline{U}_1}{N_1}$$

1.2.13. On suppose dans la suite que $N_1 = N_2$ et que $N_3 = N_4$, ainsi que $R N_4^2 \ll R_p$:

$$\underline{U}_2 \left(1 - \frac{i\ell R}{\omega S\mu} \right) = \underline{U}_1 \Rightarrow \left(\frac{\underline{U}_1}{\underline{U}_2} \right)^2 = 1 + \left(\frac{\ell R}{\omega S\mu} \right)^2 > 1 \quad \text{d'où} \quad \underline{U}_2 < \underline{U}_1$$

1.2.14. De la question précédente on en déduit l'expression de la résistance R

$$R = \frac{S\omega\mu}{\ell} \sqrt{\left(\frac{\underline{U}_1}{\underline{U}_2} \right)^2 - 1}$$

1.2.15.

$$R = \frac{\ell_T}{\sigma S_T}$$

1.2.16.

$$\frac{\ell_T}{\sigma S_T} = \frac{S\omega\mu}{\ell} \left(\left(\frac{\underline{U}_1}{\underline{U}_2} \right)^2 - 1 \right)^{\frac{1}{2}} \approx \frac{S\omega\mu}{\ell} \frac{\underline{U}_1}{\underline{U}_2} \Rightarrow \sigma = \frac{\ell \ell_T}{S S_T \omega \underline{U}_1 \underline{U}_2}$$

1.2.17. Une simple mesure de la valeur efficace de la tension $u_2(t)$ permet d'accéder à la mesure de la conductivité électrique de l'eau océanique.

Deuxième partie

Mesure des variations du niveau des océans

2.1. Modélisation mécanique d'une lame de quartz

2.1.1. Aspet énergétique

2.1.1.1.

$$E_m = \frac{1}{2} m_q \left(\frac{dx}{dt} \right)^2 + \frac{1}{2} k x^2$$

◇ k : constante de raideur , unité : $kg.s^{-2}$

◇

$$\frac{1}{2} m_q \left(\frac{dx}{dt} \right)^2 : \text{Énergie cinétique de la lame (LQ)}$$

◇

$$\frac{1}{2} k x^2 : \text{Énergie potentielle élastique de la lame (LQ)}$$

2.1.1.2. Puissance électrique instantanée $p(t)$:

$$p(t) = u(t) i(t)$$

2.1.1.3. Travail élémentaire de la force de frottements \vec{F}_d :

$$\delta W(\vec{F}_d) = \vec{F}_d \cdot \vec{e}_x dx = -\gamma_q \left(\frac{dx}{dt} \right) dx$$

2.1.1.4. Théorème de l'énergie mécanique E pour une masse ponctuelle :

$$\frac{dE}{dt} = P(\vec{f}_{nc}) : \text{puissance des forces non conservatives}$$

2.1.1.5.

$$E = E_m + E_e = \frac{1}{2} m_q \left(\frac{dx}{dt} \right)^2 + \frac{1}{2} k x^2 + E_e$$

Le théorème de l'énergie mécanique appliqué à la lame donne :

$$\frac{dE}{dt} = P(\vec{F}_d) = \frac{\delta W(\vec{F}_d)}{dt} = -\gamma_q \left(\frac{dx}{dt} \right)^2$$

et $\frac{dE}{dt} = \frac{dE_m}{dt} + \frac{dE_e}{dt}$ avec $\frac{dE_e}{dt} = p(t)$

Soit : $m_q \frac{d^2x}{dt^2} + \gamma_q \frac{dx}{dt} + kx = F(t)$ (2) avec : $F(t) = -\frac{p(t)}{\left(\frac{dx}{dt}\right)} = -\frac{u(t)i(t)}{\left(\frac{dx}{dt}\right)}$

2.1.1.6. L'équation (2) précédente pourra se mettre sous la forme :

$$\frac{d^2x}{dt^2} + \frac{\omega_o}{Q} \frac{dx}{dt} + \omega_o^2 x = \frac{F(t)}{m_q} \quad (3) \quad \text{tels que : } \begin{cases} \omega_o = \sqrt{\frac{k}{m_q}} \\ Q = m_q \frac{\omega_o}{\gamma_q} = \frac{\sqrt{k m_q}}{\gamma_q} \end{cases}$$

2.1.2. Mesure des caractéristiques mécaniques de la lame de quartz

2.1.2.1.

2.1.2.2. Le rôle de la compensatrice est de compenser le déphasage supplémentaire que présente le faisceau laser après réflexion sur les deux miroirs.

2.1.2.3. Lame d'air d'épaisseur $\varepsilon(t)$

$$\varepsilon(t) = x(t) = e(t) - e_o$$

La lame d'air, ainsi constituée, est éclairée sous incidence **normale**.

2.1.2.4. Expression de l'intensité lumineuse I au niveau du détecteur :

$$I = I_o (1 + \cos \varphi)$$

φ est le déphasage entre les deux rayons qui arrivent au niveau du détecteur.

$$\varphi = \frac{2\pi}{\lambda_o} \delta = \frac{2\pi}{\lambda_o} (2\varepsilon(t)) \Rightarrow I = I_o \left(1 + \cos \left(\frac{4\pi}{\lambda_o} \varepsilon(t) \right) \right) \quad (4)$$

2.1.2.5. Lors du réglage préliminaire $\varepsilon = 0 \Rightarrow I = 2I_o$

2.1.2.6.

$$I(t) = I_o \left(1 + \cos \left(\frac{4\pi}{\lambda_o} x(t) \right) \right)$$

2.1.2.7. Au niveau du détecteur, on observe des franges d'interférence (franges d'égales inclinaison). Le rayon des anneaux obtenus diminue lorsque $\varepsilon(t)$ augmente.

2.1.2.8. L'équation différentielle du mouvement de l'ensemble ($M_2 + LQ$) s'écrit : (en lui appliquant le théorème de l'énergie mécanique)

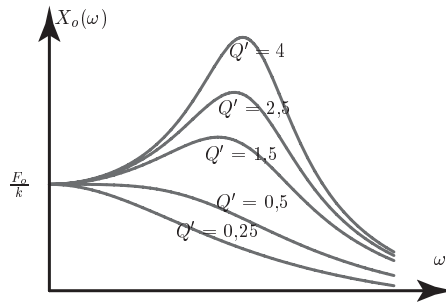
$$\frac{d^2x}{dt^2} + \frac{\omega'_o}{Q'} \frac{dx}{dt} + \omega_o'^2 x = \frac{F(t)}{m} \quad \text{tels que : } \begin{cases} m = m_q + m_m \\ \omega'_o = \sqrt{\frac{k}{m_q + m_m}} \\ Q' = \frac{m_q + m_m}{\gamma_q + \gamma_m} \omega_o = \frac{\sqrt{k(m_q + m_m)}}{\gamma_q + \gamma_m} \end{cases}$$

2.1.2.9. $F(t) = F_o \cos \omega t$ et $x(t) = X_o(\omega) \cos[\omega t + \Phi(\omega)]$

En notation complexe : $\begin{cases} \underline{x}(t) = \underline{X}_o(\omega) \exp i\omega t \quad \text{et} \quad \underline{F}(t) = F_o \exp i\omega t \\ \underline{X}_o(\omega) : \text{Amplitude complexe} \quad \underline{X}_o(\omega) = X_o(\omega) \exp i\Phi(\omega) \end{cases}$

En remplaçant dans l'équation différentielle (5), on en déduit :

$$\left(-\omega^2 - i\omega\frac{\omega'_o}{Q'} + \omega_o'^2\right)\underline{X}_o(\omega) = \frac{F_o}{m} \quad \text{ou} \quad \begin{cases} X_o(\omega) = \frac{\frac{F_o}{m}}{\sqrt{(\omega_o'^2 - \omega^2)^2 + \omega^2\frac{\omega_o'^2}{Q'^2}}} \\ \Phi(\omega) = \arg \underline{X}_o(\omega) = \arctan \left| \frac{\omega\omega'_o}{Q'(\omega_o'^2 - \omega^2)} \right| \\ \cos \Phi(\omega) = \frac{\omega_o'^2 - \omega^2}{\sqrt{(\omega_o'^2 - \omega^2)^2 + \omega^2\frac{\omega_o'^2}{Q'^2}}} \end{cases}$$



2.1.2.10.

2.1.2.11.

$$I(t) = I_o \left(1 + \cos \left(\frac{4\pi}{\lambda_o} X_o(\omega) \cos(\omega t + \Phi(\omega)) \right) \right)$$

2.1.2.12.

2.1.2.13.

2.1.2.14.

2.1.2.15.

2.2. Modélisation électrique de la lame de quartz

2.2.1.

2.2.2.

2.2.3.

2.2.4.

2.2.5.

2.2.6.

2.3. Oscillateur à quartz

2.3.1.

2.3.2.

2.3.3.

2.3.4.

2.4. Mesure de variations de niveau

2.4.1.

2.4.2.